

#### Программный комитет:

- Тарлаковский Д.В. (председатель), д.ф.-м.н., проф., академик РАЕН (Россия)  
Шклярчук Ф.Н. (зам. председателя), д.т.н., проф. (Россия)  
Федотенков Г.В. (ученый секретарь), к.ф.-м.н., доц., член-корр. РАЕН (Россия)  
Бабешко В.А., академик РАН (Россия)  
Баженов В.Г., д.ф.-м.н., проф. (Россия)  
Белостоцкий Г.Н., д.т.н., проф. (Россия)  
Гаврошин С.С., д.т.н., проф. (Россия)  
Гачевич А.Р., д.ф.-м.н., проф. (Украина)  
Горячева И.Г., академик РАН (Россия)  
Ерофеев В.И., д.ф.-м.н., проф. (Россия)  
Зинин А.В., к.т.н., доц. (Россия)  
Игуменов Д.А., д.ф.-м.н., проф., академик РАЕН (Россия)  
Кит Г.С., член-корр. АН Украины (Украина)  
Кополгев Ю.Г., академик АН Республики Татарстан (Россия)  
Кубенко В.Д., академик НАН Украины (Украина)  
Кушнир Р.М., член-корр. АН Украины (Украина)  
Локошенко А.М., д.ф.-м.н., проф., академик РАЕН (Россия)  
Ломакин Е.В., член-корр. РАН (Россия)  
Матвеев А.М., академик РАН (Россия)  
Медведский А.Л., д.ф.-м.н., проф. (Россия)  
Морозов Н.Ф., академик РАН (Россия)  
Нестеров В.А., д.т.н., проф. (Россия)  
Окунев Ю.М., академик РАЕН (Россия)  
Остапенко Н.А., д.ф.-м.н., проф., академик РАЕН (Россия)  
Паймушин В.Н., академик АН Республики Татарстан (Россия)  
Петрашкевич Войцех, профессор (Польша)  
Плескачевский Ю.М., член-корр. НАН Белоруссии (республика Беларусь)  
Рабинский Л.Н., д.ф.-м.н., проф., член-корр. РАЕН (Россия)  
Равикович Ю.А. д.т.н., проф., проректор МАИ (Россия)  
Саркисян С.О., д.ф.-м.н., проф., член-корр. НАН Армении (Армения)  
Старовойтов Э.И., д.ф.-м.н., проф. (республика Беларусь)  
Сыпало К.И., член-корр. РАН (Россия)  
Yu Gu, PhD, Professor, Beijing Jiaotong University (Китай)

Симпозиум проводится при финансовой поддержке Российского фонда фундаментальных исследований (код проекта 19-08-20008 "Научные мероприятия").

ISBN 978-5-6041894-8-1

© Московский авиационный институт (национальный исследовательский университет), 2019

#### ПРЕДИСЛОВИЕ

XXV Международный симпозиум «Динамические и технологические проблемы механики конструкций и сплошных сред» проводился Московским авиационным институтом (национальным исследовательским университетом) – МАИ, научно-исследовательским институтом механики Московского государственного университета имени М.В. Ломоносова, научно-исследовательским институтом механики Нижегородского государственного университета имени Н.И. Лобачевского и Ассоциацией «Механика и технологии» при поддержке РФФИ на базе санатория «Вятича» с 18 по 22 марта 2019 года.

В соответствии с тематикой докладов их обсуждение проходило в рамках трех секций.

*Секция I «Динамика сплошных сред»* (председатель академик РАН Горячева И.Г., сопредседатели – академик НАН Украины, Кубенко В.Д. и д.ф.-м.н., профессор Старовойтов Э.И.).

*Секция II «Динамика и прочность конструкций»* (председатель – д.т.н., профессор Шклярчук Ф.Н., председатели – д.ф.-м.н., профессор Баженов В.Г. и академик Республики Татарстан Паймушин В.Н.).

*Секция III «Технологические проблемы новых материалов и конструкций»* (председатель – д.ф.-м.н., профессор Рабинский Л.Н.).

Материалы симпозиума распределены по двум томам. Во второй том вошли не включенные в первый том тезисы и отобранные программным комитетом лучшие доклады. Все материалы, в основном, приводятся в авторской редакции.

Председатель программного комитета Д.В. Тарлаковский

$R_d$  - средняя плотность аппаратуры, определяемая как частное от деления личной массы аппаратуры на величину объема;  $k_r$  - обобщенный коэффициент заполнения объема аппаратуры элементами и узлами.

Блоки БА составляют примерно 70...80 % массы внутреннего оборудования носовых отсеков ДА и заполнения 90...95 % площади поперечного сечения отсека. Остальная часть массы носового отсека приходится на рамы, узлы крепления, межблочные жгуты и кабели, системы наддува, охлаждения и т.д. Из этого следует, что механические свойства внутреннего оборудования носовых отсеков ДА будут определяться, в основном, механическими свойствами блоков.

В литературе [7-9] отмечается широкое применение в БА в качестве конструктивных материалов алюминиевых сплавов (корпуса, шасси, радиаторы, экраны и т.д.).

Результаты приближенного анализа конструктивных материалов блоков [4] показывают, что основную долю массы и объема твердой фазы или матрицы блоков БА составляют металлические сплавы: алюминий-магний, дюралюминий и медные. Их доля достигает до 95,4 % массы и 92,1 % объема матрицы. Основные конструктивные и силовые элементы блоков (корпуса, экраны, радиаторы, радиаторы, узлы крепления и т.д.) выполнены из алюминий-магниевых сплавов (как литейных, так и деформируемых), доля которых достигает до 66,8 % массы и до 78,5 % объема матрицы. Блоки БА являются комплексной высокопористой средой, которая по своим компоновочным характеристикам, составу материалов и механическим свойствам весьма близка к высоколистым алюминиевым сплавам и готовым конструкциям из алюминиевых сплавов [4].

Работа выполнена при поддержке РФФИ (проект № 19-08-00701-а).

### Литература

1. Марков В.А., Овчинников А.Ф., Пусев В.И. Физико-механическая модель летательного аппарата при высокоскоростном взаимодействии с тонким аэродинамическим экраном // Материалы XVII Международного симпозиума «Динамические и технологические проблемы механики конструкций и сплошных сред» им. А.Г. Горшкова. Ярославль, 14-18 февраля 2011 г. Т.2. М.: ООО «ТР-Принт». 2011. С.134-139.
2. Жариков А.В., Марков В.А., Овчинников А.Ф., Пусев В.И. Вопросы физического моделирования высокоскоростного взаимодействия летательного аппарата с тонким аэродинамическим экраном // Материалы XVII Международного симпозиума «Динамические и технологические проблемы механики конструкций и сплошных сред» им. А.Г. Горшкова. Ярославль, 14-18 февраля 2011 г. Т.2. М.: ООО «ТР-Принт». 2011. С.110-118.

3. Пусев В.И. О физическом моделировании деформирования и разрушения конструкций при действиях ударных и взрывных нагрузок // Вестник Нижегородского университета им. Н.Н. Лобачевского. 2011. № 4. Ч. 4. С. 1722-1724.

4. Марков В.А., Овчинников А.Ф., Пусев В.И. Модельная среда для внутреннего оборудования носовых отсеков летательных аппаратов // Вестник МГТУ им. Н.Э. Баумана. Сер. Машиностроение. 2010. Специальный выпуск. С. 196-206.

5. Фомин А. МИГ-35. Будущее семейства легких фронтовых «Мигов» // Взлет. 2007. № 3. URL: <http://nib.tus.ee/b/315531/read>.

6. Кузьмин А. Радиолокационная станция РВБ2 самолета «Рафаль» // Зарубежное военное обозрение. 1997. № 2. С. 36-40.

7. Варламов Р.Г. Компоновка радиоэлектронной аппаратуры. Изд. 2-е, доп. и перераб. М.: Сов. Радио, 1975. 351 с.

8. Конструирование микроэлектронной аппаратуры / Под ред. Б.Ф. Высоцкого. М.: Сов. Радио, 1977. 128 с.

9. Компоновка и конструирование микроэлектронной аппаратуры / Под ред. Б.Ф. Высоцкого, В.Б. Петрикова. М.: Радио и связь, 1982. 208 с.

### ОЦЕНКЕ ДОЛГОВЕЧНОСТИ ПРОТЯЖЕННЫХ КОНСТРУКЦИЙ В СЛОЖНЫХ ПРИРОДНО-КЛИМАТИЧЕСКИХ УСЛОВИЯХ

Завойчинская Э.Б., Овчинникова Н.В.

(МГУ имени М.В. Ломоносова, Москва)

Представлены основные соотношения для определения вероятности разрушения конструктивных элементов в условиях четырех видов коррозионного воздействия при эксплуатационном нагружении. Проведен численный анализ напряженно-деформированного состояния элемента от кинетики различных видов коррозионных воздействий. По силовому критерию механики разрушения определена вероятность достижения условной расчетной трещиной критических размеров при воздействиях почвенной, блуждающими токами и микробиологической коррозии.

Участки трубопроводов подземной прокладки, состоящие из большого числа конструктивных элементов, эксплуатируются при длительном действии нагрузок в различных природно-климатических условиях и могут подвергаться электрохимическим коррозионным воздействиям: почвенной коррозии, электрокоррозии и микробиологической коррозии. Эти виды коррозии проявляются при условии  $i_{c.p.} < i_0$ ,  $i_{c.p.}$  – плотность тока катодной защиты,  $i_0$  – плотность предельного диффузионного тока по кислороду. При одновременном воздействии

эксплуатационного нагружения и коррозионной среды и условия  $i_c, p \geq 10i_0$  может иметь место стресс-коррозия [1,2].

Для магистральных газо- и нефтепроводов, транспортирующих подготовленные коррозионно-инертные продукты, особую опасность представляют собой коррозионные разрушения внешней поверхности участков. По данным ЦАО «Газпром» (исследования 30 лет эксплуатации) число отказов по причине наружной коррозии достигло 56% для труб диаметром 1220-1420 мм.

В промысловых нефтепроводах наблюдается коррозия внутренней поверхности, обусловленная присутствием минерализованной водной фазы и растворенных в ней кислорода, сероводорода и углекислого газа.

В литературе вводятся различные детерминированные функции поврежденности  $\Omega = \Omega(\tau)$ ,  $0 \leq \Omega \leq \Omega_0$ , как непрерывные функции времени  $\tau$  в интервале  $\tau \in [0, t]$ .

В настоящем докладе поврежденность рассматривается как случайный стационарный процесс. В каждый момент времени  $\tau$  поврежденность является случайной величиной, характеризующей распределением  $Q = Q(\tau)$ ,  $0 \leq Q \leq \Omega_0$ ,  $\tau \in [0, t]$ , под которым понимается вероятность, с которой поврежденность  $\Omega$  достигает своего предельного значения  $\Omega_0$ . Это распределение называется вероятностью разрушения  $Q = Q(\tau)$ .

Вероятность разрушения конструкции  $Q = Q(\tau)$  определяется суммой независимых  $K$  событий – разрушений  $k$ -того участка при отсутствии разрушения остальных ( $K-1$ ) участков,  $k=1, \dots, K$ , и выражается через вероятности разрушения  $k$ -тых участков  $Q_k = Q_k(\tau)$  в следующем виде [3-5]:

$$Q(\tau) = \sum_{k=1}^K \frac{Q_k(\tau)}{1 - Q_k(\tau)} \prod_{k=1}^{K-1} (1 - Q_k(\tau)), \quad (1)$$

В выражении (1) компоненты вероятности разрушения  $Q_k = Q_k(\tau)$  при эксплуатационном нагружении с учетом коррозионных воздействий определяются в таком виде:

$$Q_k(\tau) = \sum_{j=1}^4 \frac{Q_{k,j}(\tau)}{1 - Q_{k,j}(\tau)} \prod_{j=1}^4 (1 - Q_{k,j}(\tau)), \quad (2)$$

где  $j=1$  учитывает развитие почвенной коррозии;  $j=2$  – влияние электрокор-

розии блуждающими токами от источников постоянного и переменного токов в зоне «стекания» блуждающих токов с поверхности трубопровода;  $j=3$  – микробиологическую коррозию, вызванную жизнедеятельностью микроорганизмов почвы и поверхностных вод (бактерий, микелиальных грибов, простейших);  $j=4$  – стресс-коррозию, характеризующую развитием «колониий» микро- и макропрещин.

Распределение поврежденности  $k$ -того участка по  $j$ -му виду коррозионных воздействий,  $j=1, \dots, 4$ , предполагается описывать функцией, являющейся обобщением функции распределения Пуассона [6-8]. Распределение Пуассона в данном случае моделирует количество разрушений, произошедших в интервале времени  $\tau \in [0, t]$ , при условии, что разрушение происходит с некоторой средней интенсивностью независимо друг от друга, и задается функцией:

$$Q(n) = \frac{\varphi^n}{n!} e^{-\varphi}, \quad \text{где параметр } \varphi \in (0, \infty) \text{ - математическое ожидание случайной величины (поврежденности), носители } n \in \{1, 2, \dots\} \text{ - количество разрушений.}$$

Отсюда вероятность разрушения  $Q_{k,j} = Q_{k,j}(\tau)$  по первому разрушению ( $n=1$ ) представляется в следующем обобщенном виде:

$$Q_{k,j}(\tau) = \varphi_{k,j}(\tau) e^{-\varphi_{k,j}(\tau)} = \lambda_j l_k \frac{\tau}{t} e^{-\lambda_j l_k \frac{\tau}{t}}, \quad j=1, \dots, 4, \quad k=1, \dots, K \quad (3)$$

где  $\lambda_j$  – коэффициенты интенсивности потока разрушений от  $j$ -го вида коррозионных воздействий,  $j=1, \dots, 4$ , под которыми понимается количество коррозионно-механических разрушений  $k$ -того участка в единицу времени (год) на единицу длины (км), известные по статистике при эксплуатации участков в аналогичных природно-климатических условиях;  $l_k$  – длина  $k$ -того участка;  $t$  – долговечность  $k$ -того участка в условиях почвенной, электро-, микробиологической и стресс-коррозии соответственно,  $\tau$  – экономически и социалью приемлемый срок службы конструкции по нормам проектирования объектов.

Коррозионные воздействия внешней среды,  $j=1, \dots, 3$ , могут приводить к анодному растворению металла с образованием следующих дефектов:

– обцая (сплошная) равномерная или неравномерная коррозия (в т.ч. «ручейковая» коррозия),  $d > h$  ( $d = d(\tau)$  – средний линейный размер дефекта на

поверхности участка,  $h = h(\tau)$  — глубина дефекта по толщине участка, которая характерна для почвенной коррозии и электрокоррозии;

— локальная (местная) коррозия, образующаяся под отслоившейся изоляцией и при сквозных дефектах изоляции, подразделяется на:

— коррозия питнами (мейза-коррозия), в случае, когда  $d > h$  (частным случаем является обшая коррозия),

— язвенную коррозию при  $d \leq h$  — глубокие каверны ограниченной площади с четкими верхними границами и дном в виде сектора сферы (эллипсоида), которая вызывает разрушение по толщине стенки в виде свищей, характерное для углеродистых сталей магистральных трубопроводов в трунтах, в т.ч. подповерхностную коррозию, распространяющуюся под поверхностью металла, образуя полость и вызывая вспучивание и расслоение;

— питтинг при  $d \ll h$ , характерный для микробиологической коррозии.

Под действием эксплуатационного нагружения происходит эволюция этих дефектов при неоднородном напряженном состоянии, которая ведет к образованию коррозионно-механических трещин в областях наибольших деформаций вследствие анодного растворения металла и диффузионного проникновения пологительно заряженных ионов водорода в объем материала.

Стресс-коррозия металла,  $j = 4$ , характеризуется стадийностью процесса коррозионного разрушения, прохождением стадий эволюции полосовой структуры, появления, роста и слияния межзеренных микротрещин на микрорезном уровне и образования «колоний» стресс-коррозионных хрупких макротрещин на мезоуровне вследствие анодного растворения металла и диффузии пологительно заряженных ионов водорода в металл, ведущим к хрупкому разрушению (при отсутствии остаточных деформаций).

Таким образом, для определения вероятности разрушения (1) необходимо решить задачу об определении долговечности  $k$  — го участка  $f, k, j$  при эксплуатационном нагружении и соответствующих видах коррозионного воздействия.

С этой целью на основе анализа физико-химических закономерностей влияния коррозионных сред на металл необходимо построить феноменологическую модель развития разрушения при механическом нагружении.

На первом этапе проводится анализ напряженно-деформированного и предельного состояний элементов трубопроводов при механическом нагружении с коррозионными дефектами. Исследуются напряженно-деформированное состояние тонкостенной трубы под действием внутреннего давления  $P_0$  в условиях плоской деформации. При проведении расчетов используются фактические данные о размерах участка (внешний радиус трубы  $2R = 1420 \text{ мм}$ , толщина стенки

$\delta = 16 \text{ мм}$ ) и данные о механических свойствах материала (сталь 17Г1С,  $E = 2.06 \cdot 10^5 \text{ МПа}$ ,  $\nu = 0.28$ ,  $\sigma_{gr} = 520 \text{ МПа}$ ,  $\sigma_s = 360 \text{ МПа}$ ,  $K_{I,c} = 50 \text{ МПа}\sqrt{\text{м}}$ ). Дефект моделируется частью эллипсоида или сферы, в об-

щем случае, имеем различные значения полусфер. Поперечное сечение участка, проходящее через «вершину» дефекта, принимается за плоскость  $z = 0$ , продольное — за плоскость  $\theta = 0$  цилиндрической системы координат. Задача симметрична относительно этих плоскостей. Рассматривается элемент  $0 \leq z \leq l$ ,  $l = 50 \text{ мм}$ , по углу  $\Theta = 5^\circ$ . На поверхностях  $z = 0$  и  $z = l$  осевое перемещение принято равным 0. На плоскостях  $\theta = 0$ ,  $\theta = \Theta$  принимаются условия симметрии (равенство нулю компонент вектора перемещений в нормальном к плоскости направлении).

Решается трехмерная задача теории упругости методом конечных элементов в программном комплексе ANSYS с объемным угловым изопараметрическим элементом SOLID186.

На рис. 1 (а) — (в) представлены распределения максимального нормального напряжения  $\sigma_{\theta\theta}$  в элементе со слегающими дефектами:  $d = 0.5\delta$ ,  $h = 0.1\delta$  (коррозионное пятно),  $d = 0.5\delta$ ,  $h = 0.5\delta$  (коррозионная язва) и  $d = 0.1\delta$ ,  $h = 0.8\delta$  (питтинг). На рис. 1 (а) максимальные значения нормального напряжения  $\sigma_{\theta\theta, \text{max}}$  и интенсивности напряжений  $\sigma_{II, \text{max}}$  достигаются в точках, лежащих на большей части поверхности полости. Отметим, что подобное распределе-

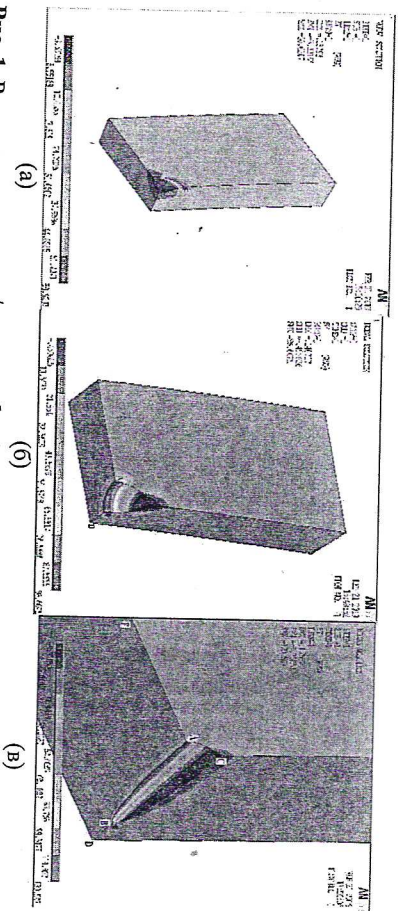


Рис. 1. Распределение  $\sigma_{\theta\theta} / P_0$ , (а)  $d = 0.5\delta$ ,  $h = 0.1\delta$ , (б)  $d = 0.5\delta$ ,  $h = 0.5\delta$ ,

(в)  $d = 0.1\delta$ ,  $h = 0.8\delta$

ние напряжений наблюдается для коррозионных пятен, когда глубина дефекта  $h$  на порядок меньше характерного размера пятна  $d$ . При увеличении глубины

h области максимальных нормального и интенсивности напряжений «стгпгива-  
 ется» к линии АВ (см. рис. 1 (б,в)), где эти значения примерно постоянны.  
 На рис. 2 представлены компоненты максимального нормального напряже-  
 ния  $\sigma_{\theta\theta}$ , интенсивности напряжений  $\sigma_{ii}$  и продольного напряжения  $\sigma_{zz}$  и  
 компоненты соответствующих номинальных напряжений  $\sigma_{\theta\theta}^{ном.}$ ,  $\sigma_{zz}^{ном.}$  по ми-  
 нимальному сечению ВД на рис. 1 в зависимости от радиуса r для язвы (а) и  
 пittingа (б). Для случая пittingа на рис. 3 изображены компоненты макси-

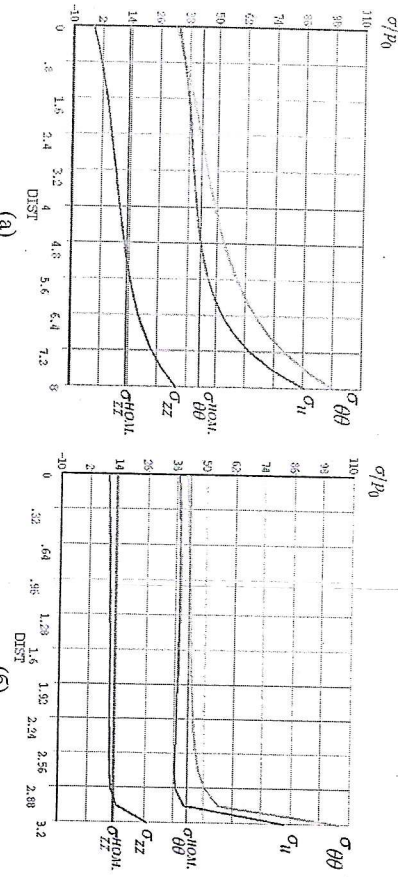


Рис.2. Напряжения  $\sigma_{\theta\theta}$ ,  $\sigma_{zz}$  и  $\sigma_{ii}$  в зависимости от r, мм ( $r=0$  на внутренней по-  
 верхности), (а)  $d=0.5\delta$ ,  $h=0.5\delta$  (б)  $d=0.1\delta$ ,  $h=0.8\delta$

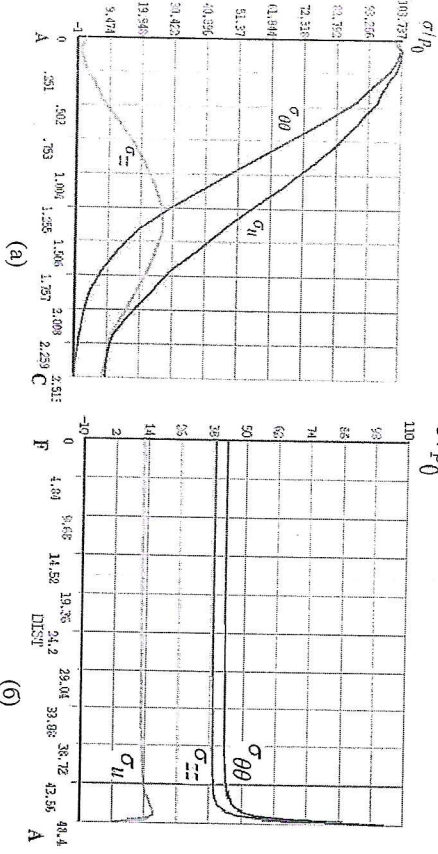


Рис.3. Напряжения  $\sigma_{\theta\theta}$ ,  $\sigma_{zz}$  и  $\sigma_{ii}$  (рис. 1(в)): (а) - в зависимости от угла  $\theta$  (в град.)  
 по линии АС, (б) - по линии FА (мм) на поверхности элемента при  $d=0.1\delta$ ,  $h=0.8\delta$   
 нормального напряжения  $\sigma_{\theta\theta}$ , интенсивности напряжений  $\sigma_{ii}$  и продольного  
 напряжения  $\sigma_{zz}$  по линиям АС и FА на рис. 1. Из рис.2 (б) и рис. 3 видно, что в  
 случае пittingа градиенты напряжений  $\sigma_{\theta\theta}$  и  $\sigma_{zz}$  существенно больше вбли-  
 зи точки В и ее небольшой окрестности.  
 На рис. 4 (а) представлены зависимости коэффициента концентрации напряжений

$K_{\sigma}$ ,  $K_{\sigma} = \frac{\sigma_{\theta\theta, \max}}{\sigma_{\theta\theta}^{ном.}}$ , от глубины дефекта h. Получено, что с увеличением глубины  
 дефекта h при размерах дефекта  $0 < d \leq 2\delta$  коэффициент концентрации напряжений  
 увеличивается в диапазоне  $1 \leq K_{\sigma} < 2.8$ . При одной и той же глубине дефекта h коэф-  
 фидент концентрации увеличивается с уменьшением размера дефекта d. При размере  
 коррозионного дефекта  $d > 2\delta$  можно использовать решение задачи об общей коррозии.  
 Предельное состояние элемента определяется как достижение максимальной интен-  
 сности напряжений предела текучести. На рис. 3(б) представлены результаты расчетов  
 предельного внутреннего давления в зависимости от глубины дефекта  $p_f = p_f(h)$ .

Кривая (4) соответствует случаю общей равномерной коррозии.

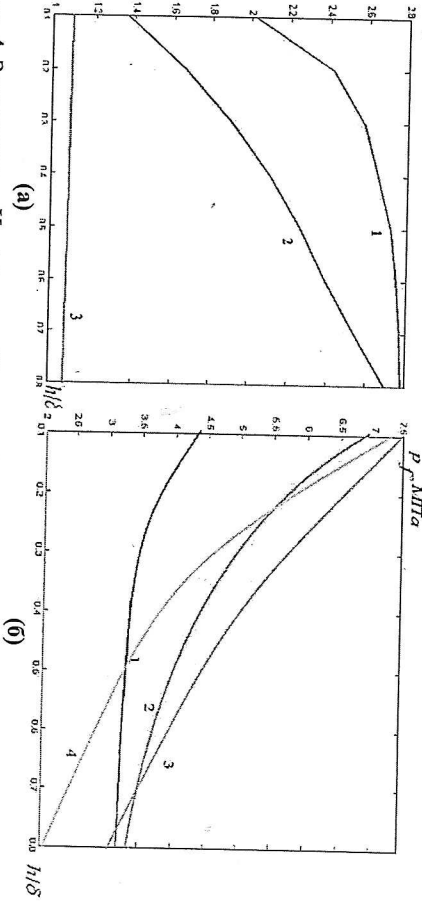


Рис.4. Зависимости  $K_{\sigma}$  (а) и  $p_f$  (б) от глубины дефекта, 1 —  $d=0.1\delta$ , 2 —  $d=0.5\delta$ ,  
 3 —  $d=2\delta$ , 4 —  $d=5\delta$

Из численного анализа следует, что линия АВ (см. рис.1) находится в области максимального нормального напряжения. Поэтому ее можно выбрать в качестве условной расчетной трещины. Глубина условной трещины полагается равной 0.5мм. Из решения трехмерной задачи для элемента с коррозионными дефектом и трещиной находится коэффициент интенсивности напряжений  $K_{I,c}$ .

На основе силового критерия разрушения вероятность достижения условной расчетной трещиной критических размеров  $Q_c$  определяется в следующем виде:

$$Q_c = \frac{K_I}{K_{I,c}} \quad (4)$$

где  $K_I$  – коэффициент интенсивности напряжений,  $K_{I,c}$  – коэффициент трещиностойкости материала.

Таким образом, в докладе представлены основные соотношения для определения вероятности разрушения конструктивных элементов в условиях четырех видов коррозионного воздействия при эксплуатационном нагружении. С помощью программного комплекса ANSYS найдено изменение напряженно-деформированного состояния элемента в процессе развития различных видов коррозионных дефектов. Определена зависимость предельного внутреннего давления по достижению предела текучести от характерных размеров коррозионных дефектов. Для оценки трещиностойкости элемента введены понятия условной расчетной трещины и вероятности достижения ее критических размеров. Эта вероятность определяется по силовому критерию механики разрушения.

#### Литература

1. ВРД 39-1.10-004-99. Методические рекомендации по количественной оценке состояния магистральных газопроводов с коррозионными дефектами, их ранжирования по степени опасности и определению остаточного ресурса. – М.: ОАО «Газпром». – 2000. – 44 с.
2. Хажаняков В.И. Сопротивление материалов. Коррозионное растрескивание. – М.: Юрайт, 2016. – 263 с.
3. Завойчинский Б.И. Долговечность магистральных и технологических трубопроводов (теория, методы расчета, проектирование). – М.: Недра, 1992. – 271 с.
4. Завойчинский Б.И., Завойчинская Э.Б. Общая теория долговечности промышленных конструкций, эксплуатируемых в сложных природно-климатических условиях // Проблемы машиностроения и автоматизации, № 2. – 2008. – с.46–52.
5. Завойчинский Б.И., Завойчинская Э.Б. Проектная оценка долговечности протяженных конструкций магистральных трубопроводов // Проблемы машиностроения и надежности машин. № 1. – 2009. – с. 114–122.

6. Завойчинский Б.И., Завойчинская Э.Б., Волчанин А.В. Вероятностная оценка остаточных сроков безопасности эксплуатации протяженных конструкций // Справочник. Инженерный журнал. № 7. – 2012. – с. 41–46.

7. Завойчинский Б.И., Завойчинская Э.Б., Волчанин А.В. Вероятностная оценка остаточных сроков безопасности эксплуатации протяженных конструкций // Справочник. Инженерный журнал. № 12. – 2012. – с. 33–36.

8. Завойчинская Э.Б. Усталостное масштабно-структурное разрушение и долговечность конструкций при пропорциональных процессах нагружения. – М.: Типография ООО «Генезис», 2018. – 262 с.

#### ИДЕНТИФИКАЦИЯ МЕХАНИЧЕСКИХ ХАРАКТЕРИСТИК КОМПОЗИТА ПО РЕЗУЛЬТАТАМ СТАТИЧЕСКИХ ИСПЫТАНИЙ

Каюмов Р.А.<sup>1,3</sup>, Паймушин В.Н.<sup>1,2</sup>, Холмогоров С.А.<sup>1</sup>

<sup>1</sup>Казанский национальный исследовательский технический университет им. А.Н. Туполева, г. Казань, <sup>2</sup>Казанский (Приволжский) федеральный университет, г.Казань, <sup>3</sup>Казанский государственный архитектурно-строительный университет, г.Казань)

Методология решения коэффициентных обратных задач, в частности, задач идентификации механических характеристик материалов, может быть сформулирована следующим образом. Пусть уравнения равновесия для образцов, для которых проведены испытания, записаны в виде

$$\zeta(x, u, s_j) = 1, \quad j = 1, J \quad (1)$$

где  $x$  – набор искомым характеристик материала,  $u, s_j$  – векторы перемещений,  $s_j$  – заданный набор данных, соответствующих  $j$ -му испытанию (внешние воздействия, “отклики”, геометрические характеристики образца и, возможно, некоторые физико-механические характеристики материала). Для получения решения задачи отыскания  $x$  обычно минимизируется норма  $\delta(x)$  вектора невязки системы (1) при некоторых ограничениях, вытекающих из каких-либо физико-механических, модельных соображений.

Однако решение задачи минимизации нормы  $\delta(x)$  может не обеспечивать приемлемую точность выполнения уравнений (1), к тому же сама задача быть может быть неустойчивой к вариациям исходных данных. В данной работе предлагается использовать следующий подход. Допуская, что исходные данные могут быть не совсем точны, во всех уравнениях задачи все наборы  $s_j$  заменим на  $s_j + \Delta s_j$ . Кроме того, можно предположить, что по технологическим причинам искомые механические характеристики материала могут несколько измениться от